

ПОДАВЛЕНИЕ ШУМОВОГО СИГНАЛА В ПОЛЕ НИЗКОЧАСТОТНОЙ НАКАЧКИ ПРИ ВСТРЕЧНОМ ВЗАИМОДЕЙСТВИИ ВОЛН

К.И. Воляк, В.Ф. Марченко, А.М. Стрельцов

УДК 621.372.2

Показано, что в поле попутной низкочастотной накачки сигнальная волна нелинейно затухает, если холостая волна является встречной. Частотная полоса подавления сигнала совпадает с полосой усиления в невырожденном параметрическом усилителе с высокочастотной накачкой. Приведены результаты эксперимента в электрической линии передачи с пространственной модуляцией коэффициента нелинейности.

В поле низкочастотной накачки ω_0 , не испытывающей распадной неустойчивости, характер параметрического взаимодействия $\omega_1 + \omega_0 = \omega_2$ при попутном синхронизме слабых волн ω_1 и ω_2 хорошо известен [1]. Амплитуды волн комбинационных частот испытывают периодические пространственные биения, масштаб которых обратно пропорционален коэффициенту модуляции реактивного параметра среды. Покажем, что характер взаимодействия меняется, если волны с частотами ω_1 и ω_2 распространяются навстречу друг другу. При выполнении условий коллинеарного встречного синхронизма $k_1 + k_0 + \Delta = k_2$, $\omega_1 + \omega_0 = \omega_2$, $|\Delta/k_0| \ll 1$ ($u_1 = \partial\omega/\partial k_1 > 0$, $u_0 = -\partial\omega/\partial k_0 > 0$, $u_2 = \partial\omega/\partial k_2 < 0$) уравнения для комплексных амплитуд A_1 и A_2 в среде без потерь имеют вид:

$$\begin{aligned} \frac{\partial A_1}{\partial x} + \frac{1}{u_1} \frac{\partial A_1}{\partial t} &= -i\sigma_1 A_0^* A_2 e^{-i\Delta x}, \\ -\frac{\partial A_2}{\partial x} + \frac{1}{u_2} \frac{\partial A_2}{\partial t} &= -i\sigma_2 A_0 A_1 e^{i\Delta x}, \end{aligned} \quad (1)$$

где σ_1 , σ_2 – коэффициенты нелинейной связи между взаимодействующими сигналами [2]. Как и при попутном взаимодействии амплитуду монохроматической накачки A_0 можно считать постоянной, так как заданное при $x = 0$ условие $|A_{1,2}| \ll |A_0|$ выполняется во всем объеме среды.

Переходя в (1) к спектральному представлению

$$A_1 = \frac{1}{\sqrt{2\pi}} e^{-\frac{i\Delta x}{2}} \int_{-\infty}^{\infty} S_1(x, \Omega) e^{i\Omega t} d\Omega,$$

$$A_2 = \frac{1}{\sqrt{2\pi}} e^{-\frac{i\Delta x}{2}} \int_{-\infty}^{\infty} S_2(x, \Omega) e^{i\Omega t} d\Omega,$$

получим систему

$$\begin{aligned} \frac{dS_1}{dx} + i\left(\frac{\Omega}{u_1} - \frac{\Delta}{2}\right)S_1 &= -i\sigma_1 A_0^* S_2, \\ -\frac{dS_2}{dx} + i\left(\frac{\Omega}{u_2} - \frac{\Delta}{2}\right)S_2 &= -i\sigma_2 A_0 S_1. \end{aligned} \quad (2)$$

При условиях на границах среды ($x = 0, l$) $S_1(0, \Omega) = S_{10}(\Omega)$, $S_2(l, \Omega) = 0$ решение (2) имеет вид:

$$S_1(x, \Omega) = S_{10} e^{i\frac{\Omega}{2}v_-x} \frac{\gamma \operatorname{ch}\gamma(x-l) - (i/2)(\Omega\nu - \Delta)\operatorname{sh}\gamma(x-l)}{\gamma \operatorname{ch}\gamma l + (i/2)(\Omega\nu - \Delta)\operatorname{sh}\gamma l}, \quad (3)$$

$$S_2(x, \Omega) = i\sigma_2 A_0 S_{10} e^{i\frac{\Omega}{2}v_-x} \frac{\operatorname{sh}\gamma(x-l)}{\gamma \operatorname{ch}\gamma l + (i/2)(\Omega\nu - \Delta)\operatorname{sh}\gamma l},$$

где $v = u_1^{-1} + u_2^{-1}$, $v_- = u_2^{-1} - u_1^{-1}$ — расстройки групповых скоростей; $\gamma = [\sigma_1 \sigma_2 |A_0|^2 - (\Omega\nu - \Delta)^2/4]^{1/2}$ — инкремент.

На резонансной частоте $\Omega_0 = \Delta/\nu$ выражение (3) упрощается

$$S_1(x) = S_{10}(\Omega_0) \frac{\operatorname{ch}\gamma_0(x-l)}{\operatorname{ch}\gamma_0 l},$$

$$S_2(x) = i S_{10}(\Omega_0) \sqrt{\frac{\sigma_2}{\sigma_1}} \frac{A_0}{|A_0|} \frac{\operatorname{sh} \gamma_0 (x - l)}{\operatorname{ch} \gamma_0 l}, \quad (4)$$

$$\gamma_0 = (\sigma_1 \sigma_2 |A_0|^2)^{1/2}.$$

Таким образом, амплитуды волн монотонно меняются вдоль среды (рис. 1), причем сигнальная волна затухает вдоль координаты вследствие перекачки энергии в волну холостой частоты, нарастающей в сторону входной границы среды. Пространственное распределение амплитуд аналогично обращенному по координате распределению попутных слабых волн в поле заданной высокочастотной накачки.

Как следует из (3), существует критическая расстройка Δ_{kp} , при которой инкремент γ становится мнимым. При $\Delta > \Delta_{kp}$ энергообмен между волнами ω_1 и ω_2 принимает осциллирующий вдоль среды характер. Отметим, что при попутном синхронизме /1/ увеличение расстройки не меняет картины пространственных биений, а лишь уменьшает период осцилляций.

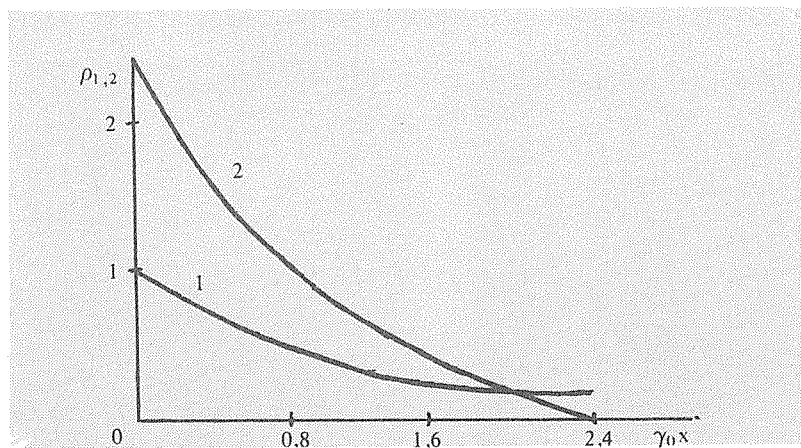


Рис. 1. Зависимость ρ_1 (кривая 1) и ρ_2 (кривая 2) от координаты (расчет по формуле (4), $\rho_{1,2} = |S_{1,2}/S_{10}|, \sigma_2/\sigma_1 = 6$).

При $\Delta = 0$ ширина области подавления сигнала на частоте ω_1 оценивается так же, как и полоса усиления невырожденного параметрического усилителя /3/:

$$\delta\Omega \approx \frac{4\sqrt{\ln 2}}{|\nu|} \sqrt{\frac{\gamma_0}{I}} . \quad (5)$$

Одним из проявлений рассмотренного выше механизма взаимодействия волн является подавление шума в узкой полосе (5) в поле монохроматической накачки. Экспериментально этот эффект наблюдался в искусственной линии передачи с периодическим изменением знака нелинейности емкостей, являющейся аналогом кристалла с пространственной модуляцией нелинейной восприимчивости по закону $x = x_0 (1 + M \cos Kx) / 4$ ($K = 2\pi/l_0$, l_0 – период модуляции). В такой среде роль встречной волны играет минус первая пространственная гармоника, для которой условие синхронизма для волновых чисел имеет вид:

$$k_1 + k_0 + \Delta = K - k(\omega_2),$$

где $k(\omega)$ – закон дисперсии для нулевой пространственной гармоники.

На вход линии подавался широкополосный шумовой сигнал ($\Delta f \approx 2$ МГц) и гармоническое напряжение накачки (рис. 2а), что приводило к генерации

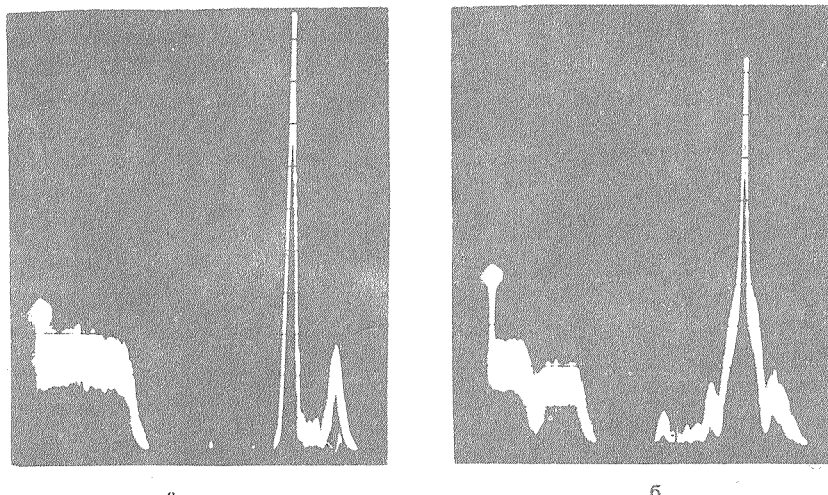


Рис. 2. Спектры волн в линии $f_0 = 5,4$ МГц, $f_2 = 6,4$ МГц, $A_0 = 2$ В (масштаб по вертикали логарифмический): а) $x = 0$; б) $x = 60$ ячеек.

узкополосного шумового сигнала холостой частоты $\omega_2 > \omega_0$. На выходе линии в спектре сигнальной волны появлялся провал на частоте $\omega_1/2\pi \approx 1$ МГц (рис. 2б) шириной $\sim 0,2$ МГц (расчет по формуле (5) дает 0,17 МГц), ширина которого равна ширине спектра встречной волны. На выходе линии наличие слабого напряжения холостой частоты обусловлено отражениями от неоднородностей линии; спектр накачки уширен за счет несинхронной генерации комбинированных частот при попутном взаимодействии шумового сигнала и накачки.

Необходимо заметить, что подобный процесс имеет место и в среде либо с аномальной дисперсией, либо с периодической модуляцией линейного параметра, например, показателя преломления в оптических кристаллах.

Авторы благодарны Ф.В. Бункину за поддержку и внимание к работе.
Институт общей физики АН СССР Поступила в редакцию 4 июня 1985 г.

ЛИТЕРАТУРА

1. Виноградова М.Б., Руденко О.В., Сухоруков А.П. Теория волн. М., Наука, 1979.
2. Горшков А.С., Марченко В.Ф. Изв. ВУЗов., Радиофизика, 10, 825 (1967).
3. Ахманов С.А., Дьяков Ю.Е., Чиркин А.С. Введение в статистическую радиофизику и оптику. М., Наука, 1981.
4. Баранова Н.Б., Зельдович Б.Я. ДАН СССР, 263, 325 (1982).